



1. Algoritmo PID — 2GDL

1.1 Teoría básica

El controlador PID (Proporcional-Integral-Derivativo) es el control realimentado más usado en los sistemas de ingeniería [1]. Este controlador consta de tres acciones fundamentales: la acción proporcional (P), la cual depende del error presente; la acción integral (I), que depende de los errores en el pasado; y, la acción derivativa (D) que depende de la predicción del error en el sistema. Las acciones integral y derivativa son importantes porque la primera permite eliminar el error de estado estacionario y la segunda permite tener una acción predictiva o anticipativa, permitiendo que un sistema sea más estable.

La acción de control en un controlador PID combina las tres acciones así:

$$u = k_p e + k_i \int_0^t e(\tau) d\tau + k_d \frac{de}{dt} = k_p \left(e + \frac{1}{T_i} \int_0^t e(\tau) d\tau + T_d \frac{de}{dt} \right). \quad (1.1)$$

en que:

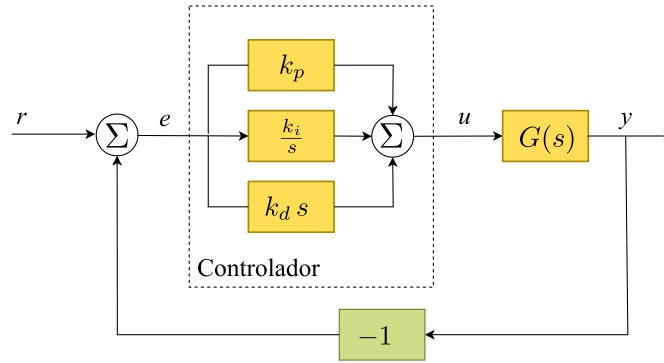
k_p : Constante proporcional

k_i : Constante integral

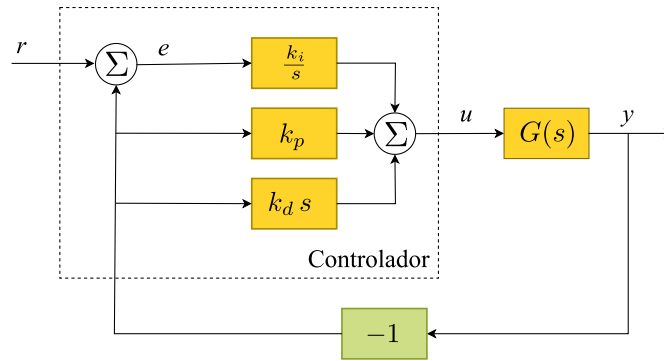
k_d : Constante derivativa

$T_i = k_p/k_i$: Constante de tiempo integral,

$T_d = k_d/k_p$: Constante de tiempo derivativa.



(a) PID de un 1-GDL.



(b) PID de 2-GDL.

Figura 1.1: Diagrama de bloques de sistemas en lazo cerrado con controladores PID de uno (a) y dos grados de libertad (b) [1].

En la figura 1.1 se muestra el diagrama de lazo cerrado de un controlador PID de un grado de libertad (1-GDL) y en la figura 1.1b el diagrama de un PID de dos grados de libertad (2-GDL). El controlador PID de 1-GDL tiene una sola entrada e y las tres acciones de control (proporcional, integral y derivativa) actúan sobre el error. El controlador PID de 2-GDL tiene dos entradas, r y y . En este controlador la acción integral actúa sobre el error, mientras que la acción proporcional y la derivativa actúan sobre la salida y .

Comentario 1.1.1 — ¿Cuál configuración es más usada? La configuración más usada para la implementación de un controlador PID es 2-GDL, puesto que la acción derivativa actúa sobre la salida que es una señal continua y no sobre el error que es una señal discontinua. Las discontinuidades del error hacen que la señal de control tenga cambios muy fuertes al usar un PID de 1-GDL, produciendo, así, un esfuerzo severo en el actuador.

1.2 Implementación computacional del controlador PID-2DOF

En esta sección resumimos brevemente el proceso de implementación computacional de un controlador PID de dos grados de libertad, adaptado de la presentación del libro de

Åström y Murray [2, págs. 11-21—11-23].

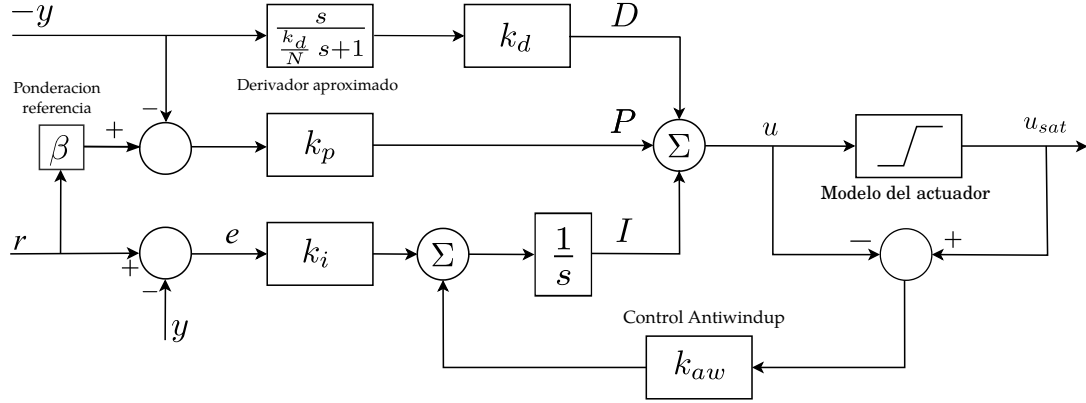


Figura 1.2: Controlador PID de dos grados de libertad con filtro y control *anti-windup*.

Para la implementación del controlador se considera el controlador PID con derivada filtrada, ponderación de la referencia y control *anti-windup*, conforme se ilustra en la figura 1.2. La señal u_a corresponde a la suma de los términos proporcional, integral y derivativo.

La salida del algoritmo de control que debe enviarse al sistema controlado es

$$u_{sat} = sat(u). \quad (1.2)$$

En que la función $sat(u)$ modela los límites energéticos del actuador y se define así:

$$u_{sat} = \begin{cases} u_{max}, & \text{si } u > u_{max} \\ u_{min}, & \text{si } u < u_{min} \\ u, & \text{en otro caso.} \end{cases} \quad (1.3)$$

Implementación digital

El controlador de tiempo continuo ilustrado en la figura 1.2 requiere ser discretizado para su implementación computacional. Supongamos que la discretización se realiza con un periodo de muestreo h , dado en segundos.

El término proporcional $P = k_p(\beta r - y)$ se implementa simplemente reemplazando las variables continuas por las muestras tomadas en el tiempo actual t_k :

$$P(t_k) = k_p(\beta r(t_k) - y(t_k)). \quad (1.4)$$

El error actual en el momento actual t_k se calcula como:

$$e(t_k) = r(t_k) - y(t_k). \quad (1.5)$$

El término integral se obtiene aproximando la integral por la siguiente ecuación incremental de estado:

$$I(t_{k+1}) = I(t_k) + k_i h e(t_k) + \frac{h}{T_{aw}} (u_{sat} - u), \quad (1.6)$$

en que $T_{aw} = h/k_{aw}$ es el término *anti-windup*.

Definiendo $b_i = k_i/h$ y $b_r = h/T_{aw}$ en la ecuación (1.6), obtenemos:

$$I(t_{k+1}) = I(t_k) + b_i e(t_k) + b_r (u_{sat} - u), \quad (1.7)$$

A su vez, el término que produce la derivada filtrada está dado por la siguiente ecuación diferencial:

$$\frac{k_d}{N} \frac{dD}{dt} + D = -k_d \dot{y}.$$

Aproximando la derivada en esta ultima ecuación por el método de Euler, obtenemos la siguiente ecuación en diferencias:

$$\frac{k_d}{N} \frac{D(t_k) - D(t_{k-1})}{h} + D(t_k) = -k_d \frac{y(t_k) - y(t_{k-1})}{h}. \quad (1.8)$$

La ecuación (1.8) puede ser reescrita como:

$$D(t_k) = \frac{k_d}{k_d + Nh} D(t_{k-1}) - \frac{k_d N}{k_d + Nh} (y(t_k) - y_{k-1}), \quad (1.9)$$

Definiendo $a_d = k_d/(k_d + Nh)$ y $b_d = k_d N/(k_d + Nh)$ en la ecuación (1.9), obtenemos la siguiente ecuación en diferencias:

$$D_k = a_d D_{k-1} - b_d (y_k - y_{k-1}). \quad (1.10)$$

Las ecuaciones (1.4), (1.7) y (1.10) se utilizan en el siguiente pseudo-código para implementar un controlador PID de 2-GDL con filtrado de la derivada y control.

```

1 // define structural parameters
2 h =
3 umin =
4 umax =
5 deadzone =
6 // probably others depending on your system
7
8
```

```

9 // define pid paramaters
10 kp =
11 ki =
12 kd =
13
14 // define other pid parameters
15 N =
16 beta =
17
18 // Compute controller coefficients before control loop
19 // if you are not performing self tuning
20 bi = ki*h
21 ad = kd/ (kd + N*h)
22 bd = kd*N/(kd + N*h)
23 br = h/Taw
24
25 // Control algorithm - critical repeating task
26 for (;;) {
27     r = read_reference() // read setpoint
28     y = read_sensor() // read process variable
29     P = kp*(beta*r - y) // compute proportional part
30     D = ad*D - bd*(y-y_ant) // compute derivative part
31     u = P + I + D // compute temporary output
32
33     //compensateDeadZone(u) if necessary
34
35     usat = sat(u, ulow, uhigh) // compute actuator saturation
36     send_analog_output(usat) // set analog output
37     I = I + bi*(r-y) + br*(usat-u) // update integral state
38     y_ant = y // update derivative state
39
40
41     ...Repeat this task when the sampling time has elapsed.
42
43 }

```

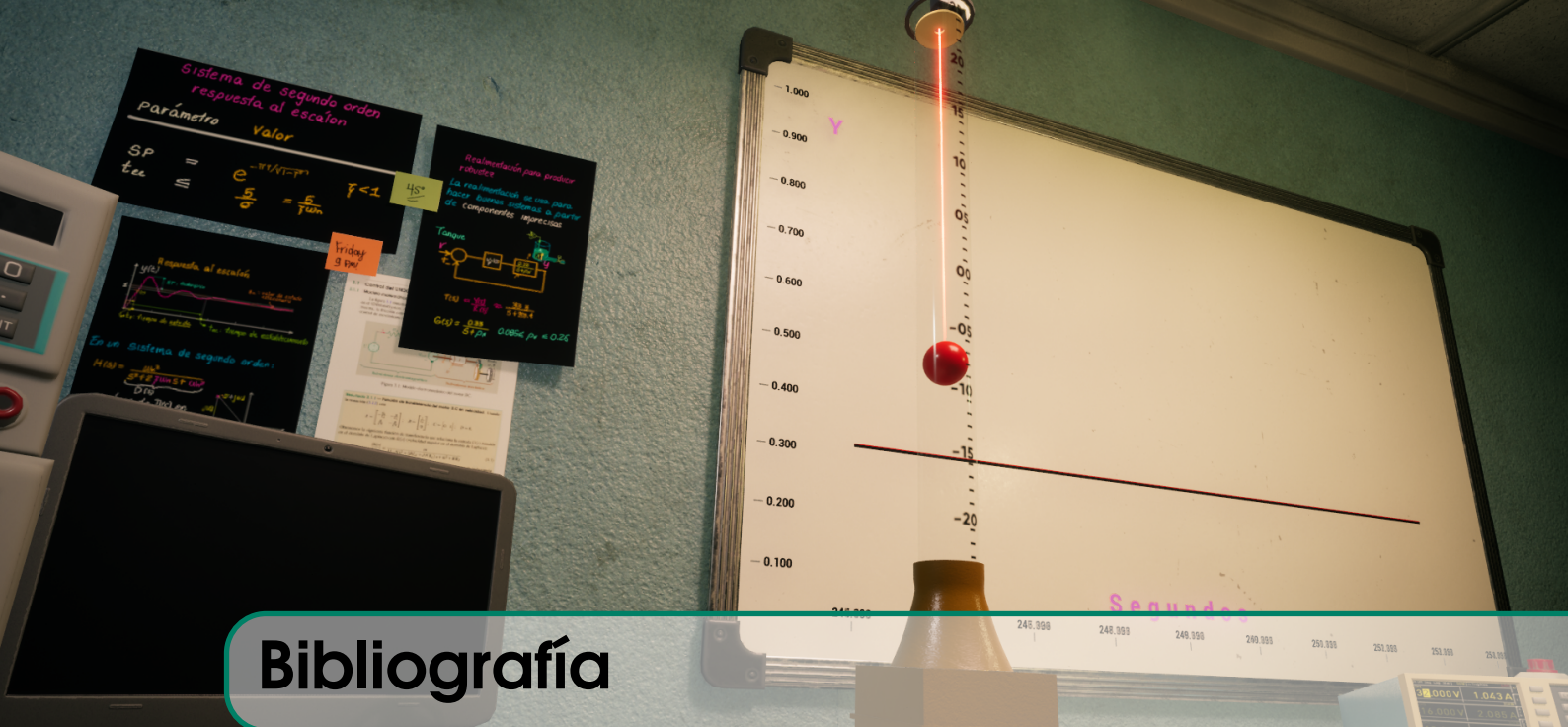
1.3 Notas de implementación

El factor N que aparece en la ecuación (1.9) determina el ancho de banda del derivador aproximado usado en el PID. Normalmente se usa un valor entre 5 y 20. Note que un valor más alto de N implica que el derivador tiene más ancho de banda, se parece más a un derivador ideal y, consecuentemente, tiene un mayor efecto estabilizante, pero también *es más susceptible al ruido*. Así que su valor debe ser ajustado con cuidado y depende del ruido presente en el sistema de control.

El valor de la constante de *anti-windup* se puede elegir como:

$$T_{aw} = 0.9h.$$

Siendo h el tiempo de muestreo elegido para el sistema.



Bibliografía

Libros

- [ÅH06] K.J. Åström y T. Häggglund. *Advanced PID Control*. ISA-The Instrumentation, Systems, y Automation Society, 2006. ISBN: 9781556179426. URL: <https://books.google.com.co/books?id=XcseAQAAIAAJ> (véanse páginas 1, 2).
- [ÅM21] Karl Johan Åström y Richard M. Murray. *Feedback Systems: An Introduction for Scientists and Engineers*. 2.^a edición. Princeton University Press, 2021. ISBN: 978-0-691-19398-4. URL: <http://press.princeton.edu/> (véase página 3).

Artículos

Online

